

岡山大学 正員 竹宮宏和  
 〇京都大学 学生員 井上幸一

1. まえがき。本論文は、動的サブストラクチャ法により多スパン高橋脚橋の橋軸直角水平方向を対象とした地震応答解析を行ったものである。同構造物の動的解析には、通常の有限要素法が直接適用できず、コンピュータの容量、演算時間により、分割要素数がある程度制限される。そのための解の精度もそれに依ったものとなる。そこで解析対象構造物を部分構造系に分け、それぞれをモード解析して全体系の運動方程式を立てる。これにより、比較的多くの分割要素を採ることが可能となる。

2. 運動方程式。運動方程式を書き表わせば、橋脚部に関して、橋脚と橋脚の接合部における絶対変位を  $\{x_i\}_g$ 、それ以外の内部座標での絶対変位を  $\{x_i\}_e$  として

$$\begin{bmatrix} [M_{ij}] & [M_{ji}] \\ [M_{ij}] & [M_{ii}] \end{bmatrix} \begin{Bmatrix} \{x_i\}_e \\ \{x_i\}_g \end{Bmatrix} + \begin{bmatrix} [C_{ij}] & [C_{ji}] \\ [C_{ij}] & [C_{ii}] \end{bmatrix} \begin{Bmatrix} \{x_i\}_e \\ \{x_i\}_g \end{Bmatrix} + \begin{bmatrix} [K_{ij}] & [K_{ji}] \\ [K_{ij}] & [K_{ii}] \end{bmatrix} \begin{Bmatrix} \{x_i\}_e \\ \{x_i\}_g \end{Bmatrix} = \begin{Bmatrix} \{F_j\}_g \\ \{0\}_g \end{Bmatrix} \quad (1)$$

ここに  $\{F_j\}_g$  は接合部における断面力である。なお、上式では質量、減衰、剛性マトリックスを上記の変位に添するようサブマトリックスに分割している。いま、変位  $\{x_i\}_e$  を橋脚に外力が作用する接合部の変位によ、こを添する変位  $\{x_i\}_g$ 、および接合部の変位が固定拘束されている場合の外力によ、こを添する変位  $\{x_i\}_e$  とは分離する。

$$\{x_i\}_e = [\beta]_g \{x_i\}_g \quad \text{ただし} \quad [\beta]_g = -[K_{ij}]^{-1} [K_{ji}]_g$$

この変換を式(1)に対して行い、 $\{x_i\}_g = \{x_i\}_e + \{x_i\}_g^?$ 、 $\{x_i\}_e = \{x_i\}_e + \{x_i\}_e^?$  とおくと

$$\begin{bmatrix} [M_{ij}] + [\beta]_g^T [M_{ij}] + [M_{ij}] + [\beta]_g^T [M_{ij}] + [\beta]_g^T [M_{ij}] + [\beta]_g^T [M_{ij}] & [M_{ij}] + [\beta]_g^T [M_{ij}] \\ [M_{ij}] + [\beta]_g^T [M_{ij}] & [M_{ii}] + [\beta]_g^T [M_{ii}] \end{bmatrix} \begin{Bmatrix} \{x_i\}_e \\ \{x_i\}_g^? \end{Bmatrix} + \begin{bmatrix} [0] & [0] \\ [0] & [0] \end{bmatrix} \begin{Bmatrix} \{x_i\}_e \\ \{x_i\}_g^? \end{Bmatrix} + \begin{bmatrix} [K_{ij}] + [K_{ij}] + [\beta]_g^T [K_{ij}] & [0] \\ [0] & [K_{ii}] \end{bmatrix} \begin{Bmatrix} \{x_i\}_e \\ \{x_i\}_g^? \end{Bmatrix} = \begin{Bmatrix} \{F_j\}_g \\ \{0\}_g \end{Bmatrix} - \begin{Bmatrix} \{x_i\}_e^? \\ \{x_i\}_g^? \end{Bmatrix} \quad (3)$$

(表 1)

となる。次に、橋脚の総数を  $m$  とする。各橋脚について表わした運動方程式をすべての橋脚について書き下し、これを一つのマトリックス方程式で表わせば、次のようになる。(一 および  $g$  は上と同様)

$$\begin{bmatrix} [M]_{p_1} & 0 & & \\ & [M]_{p_2} & & \\ & & \ddots & \\ 0 & & & [M]_{p_m} \end{bmatrix} \begin{Bmatrix} \{x_i\}_{p_1} \\ \{x_i\}_{p_2} \\ \vdots \\ \{x_i\}_{p_m} \end{Bmatrix} + \begin{bmatrix} [C]_{p_1} & 0 & & \\ & [C]_{p_2} & & \\ & & \ddots & \\ 0 & & & [C]_{p_m} \end{bmatrix} \begin{Bmatrix} \{x_i\}_{p_1} \\ \{x_i\}_{p_2} \\ \vdots \\ \{x_i\}_{p_m} \end{Bmatrix} + \begin{bmatrix} [K]_{p_1} & 0 & & \\ & [K]_{p_2} & & \\ & & \ddots & \\ 0 & & & [K]_{p_m} \end{bmatrix} \begin{Bmatrix} \{x_i\}_{p_1} \\ \{x_i\}_{p_2} \\ \vdots \\ \{x_i\}_{p_m} \end{Bmatrix} = \begin{Bmatrix} \{F_j\}_{p_1} \\ \{F_j\}_{p_2} \\ \vdots \\ \{F_j\}_{p_m} \end{Bmatrix} - \begin{bmatrix} [M]_{p_1} & 0 & & \\ & [M]_{p_2} & & \\ & & \ddots & \\ 0 & & & [M]_{p_m} \end{bmatrix} \begin{Bmatrix} \{x_i\}_{p_1} \\ \{x_i\}_{p_2} \\ \vdots \\ \{x_i\}_{p_m} \end{Bmatrix} \quad (4)$$

ここで  $\{x_i\}_{p_e}$  は橋脚との接合点における変位  $\{x_i\}_{p_e}$  とその他の点における変位  $\{x_i\}_{p_e}$  に分け、また、 $\{F_j\}_{p_e}$  もそれに依って分けると、それぞれ次のようになる。

$$\{x_i\}_{p_e} = \begin{Bmatrix} \{x_i\}_e \\ \{x_i\}_{p_e} \end{Bmatrix}, \quad \{F_j\}_{p_e} = \begin{Bmatrix} \{F_j\}_e \\ \{0\}_{p_e} \end{Bmatrix} \quad (5)$$

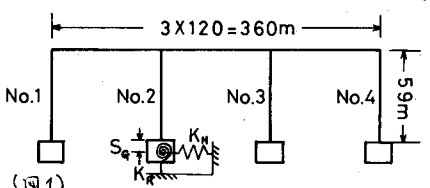
さらに、 $\{x_i\}_{p_e} = [Z]_{p_e} \{g\}_{p_e}$  とモード座標に変換し、 $[Z]_{p_e}$  を式(5)の  $\{x_i\}_{p_e}$  に依って分割する。すなわち、

$$\begin{Bmatrix} \{x_i\}_e \\ \{x_i\}_{p_e} \end{Bmatrix} = \begin{bmatrix} [Z]_{p_1} \\ [Z]_{p_e} \end{bmatrix} \{g\}_{p_e} \quad (6)$$

$[Z]_{p_e}$  が正規化されており、減衰マトリックスをこれにより対角化されるものと仮定すると運動方程式は

$$[I] \{g\}_{p_e} + [2h\omega]_{p_e} \{g\}_{p_e} + [\omega]_{p_e} \{g\}_{p_e} = [Z]_{p_e}^T \{F_j\}_{p_e} - [Z]_{p_e}^T [M]_{p_e} \{x_i\}_{p_e} \quad (7)$$

の形に書ける。ただし、 $h$  は減衰定数、 $\omega$  は固有振動数であり、各マトリックスおよびベクトルは全橋脚についての



GIRDER & PIER			
	E(t/m <sup>2</sup> )	I(m <sup>4</sup> )	W(t/m)
GIRDER	2.1 x 10 <sup>7</sup>	76.9	66
PIER 1	2.69 x 10 <sup>6</sup>	4720	117
PIER 2	2.69 x 10 <sup>6</sup>	1826	257
PIER 3	2.69 x 10 <sup>6</sup>	4720	117
PIER 4	2.69 x 10 <sup>6</sup>	4720	117

FOUNDATION	
M(t <sup>2</sup> s <sup>2</sup> /m)	1.378 x 10 <sup>3</sup>
J(t <sup>2</sup> m <sup>2</sup> s <sup>2</sup> )	1.498 x 10 <sup>5</sup>
K <sub>H</sub> (t/m)	1.395 x 10 <sup>6</sup>
K <sub>R</sub> (t <sup>2</sup> m)	6.078 x 10 <sup>7</sup>
S <sub>G</sub> (m)	2.5

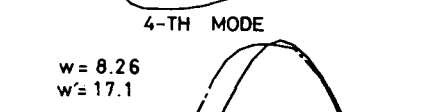
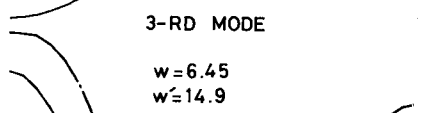
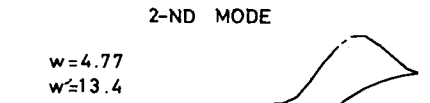
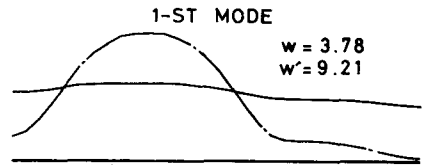
と表わしたものである。さて、橋桁の運動方程式(3)において、変位 $\{x\}_q$ については $\{x\}_q = [x]_q \{x\}_q$ とモード座標に変換し、 $\{x\}_q$ に関しては、接合部における適合条件により橋脚のモード座標によ、 $\{x\}_q = [x]_p \{x\}_p$ と表される。したがって、運動方程式は次のように橋桁と橋脚のモード座標で表される。

$$\begin{bmatrix} [x]_p^T ([M]_q + [\beta]_q [M]_q + [M]_q [\beta]_q + [\beta]_q^T [M]_q) [x]_p & [x]_p^T ([M]_q + [\beta]_q [M]_q) [x]_q \\ [x]_q^T ([M]_q + [M]_q [\beta]_q) [x]_p & [I] \end{bmatrix} \begin{Bmatrix} \{x\}_p \\ \{x\}_q \end{Bmatrix} + \begin{bmatrix} [0] & [0] \\ [0] & [2] h_w \end{bmatrix} \begin{Bmatrix} \{x\}_p \\ \{x\}_q \end{Bmatrix} = \begin{bmatrix} [x]_p^T ([K]_q + [K]_q [\beta]_q) [x]_p & [x]_p^T [0] \\ [0] & [0] \end{bmatrix} \begin{Bmatrix} \{x\}_p \\ \{x\}_q \end{Bmatrix} - \begin{bmatrix} [x]_p^T [M]_q + [\beta]_q [M]_q + [M]_q [\beta]_q + [\beta]_q^T [M]_q & [x]_p^T [M]_q \\ [x]_q^T [M]_q + [M]_q [\beta]_q & [x]_q^T [M]_q \end{bmatrix} \begin{Bmatrix} \{x\}_p \\ \{x\}_q \end{Bmatrix} \quad (8)$$

また、(8)から断面力を消去して全体系の運動方程式は次のようになる。

$$\begin{bmatrix} [I] + [x]_p^T ([M]_q + [\beta]_q [M]_q + [M]_q [\beta]_q + [\beta]_q^T [M]_q) [x]_p & [x]_p^T ([M]_q + [\beta]_q [M]_q) [x]_q \\ [x]_q^T ([M]_q + [M]_q [\beta]_q) [x]_p & [I] \end{bmatrix} \begin{Bmatrix} \{x\}_p \\ \{x\}_q \end{Bmatrix} + \begin{bmatrix} [2] h_w [0] & [0] \\ [0] & [2] h_w [0] \end{bmatrix} \begin{Bmatrix} \{x\}_p \\ \{x\}_q \end{Bmatrix} = \begin{bmatrix} [x]_p^T [M]_q + [\beta]_q [M]_q + [M]_q [\beta]_q + [\beta]_q^T [M]_q & [x]_p^T [M]_q \\ [x]_q^T [M]_q + [M]_q [\beta]_q & [x]_q^T [M]_q \end{bmatrix} \begin{Bmatrix} \{x\}_p \\ \{x\}_q \end{Bmatrix} \quad (9)$$

3. 解析例。図1に示すスパン高橋脚橋モデルに対し、固有値解析および地震応答解析を行った。橋脚下端の支持条件としては、固定およびフーチング-地盤バネ系の2種類設計した。このモデルの諸元を表1に示す。なお減衰定数は各次モード5%とした。固有値解析の結果得られた固有振動数および対応したモードを図2に示す。フーチング-地盤バネ系を橋脚下端に接続することで、固定の場合と比較して固有振動数が大きく低下し、モードも特に1次で著しく変化していることが認められる。また、伊豆沖地震のスペクトルを用いて算出したRMS値およびEl Centro地震を入力した場合の最大応答変位を図3に示す。なお、いずれの地震についても最大加速度は200 galにしてある。この図からも橋脚の支持条件によって、橋桁の変形形態が異なっていることが認められる。以上のような相違点はフーチングの回転によるものと考えられる。



w ——— FOOTINGS  
w' ——— FIXED

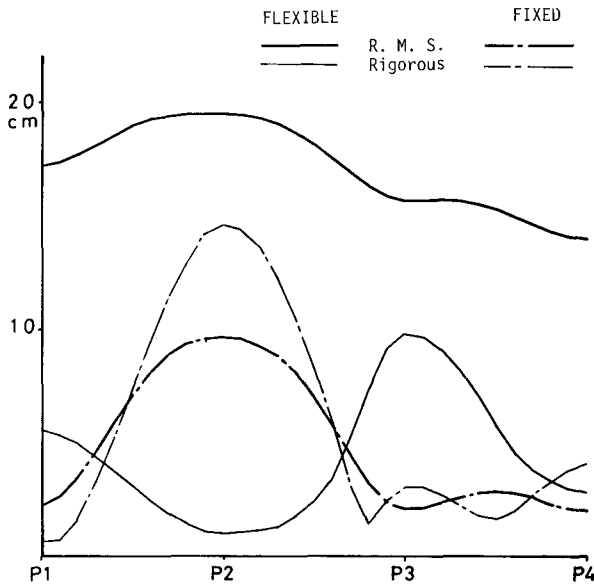


図3

図2